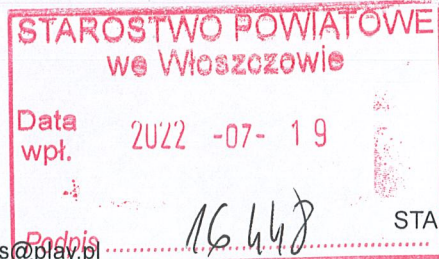


**Dokument elektroniczny****Miejsce i data sporządzenia dokumentu**

2022-07-19

**Dane nadawcy**

Alicja Bogumił  
Email: korespondencja3gns@p1ay.pl  
P4 Sp. z o.o.  
02-677 Warszawa (miasto)  
ul. Wynalazek 1  
Województwo: MAZOWIECKIE  
Powiat: Warszawa  
Gmina: Warszawa (gmina miejska)

**Dane adresata**

STAROSTWO POWIATOWE WE WŁOSZCZOWIE (29-100  
WŁOSZCZOWA, WOJ. ŚWIĘTOKRZYSKIE)

**UZUPEŁNIENIE ZGŁOSZENIA INSTALACJI****WLS4471 Uzupełnienie Zgłoszenia Instalacji**

Dzień dobry,

W związku z prośbą Laboratorium Badawczego PEM EMVO przekazuje aneks do sprawozdań pomiarów dla potrzeb ochrony środowiska o nr 103/06/OŚ/2022- P4-W i proszę o dołączenie ich do zgłoszenia instalacji wytwarzającej pole elektromagnetyczne złożonego dnia 2022-07-01 dotyczącego stacji bazowej telefonii komórkowej WLS4471A zlokalizowanej w miejscowości Wałkonowy Dolne, na działce o nr 82.

Pozdrawiam,  
Alicja Bogumił

**Załączniki:**

1. [WLS4471A\\_OŚ\\_30.06.2022\\_ANEKS.pdf](#)

Dokument został podpisany, aby go zweryfikować należy użyć oprogramowania do weryfikacji podpisu. Data złożenia podpisu:  
2022-07-19T14:19:30.110+02:00

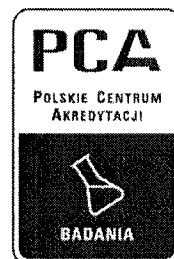
**Podpis elektroniczny**



Laboratorium EMVO Sp. J. Urbański, Pawelak  
ul. Jasna 1  
00-013 Warszawa

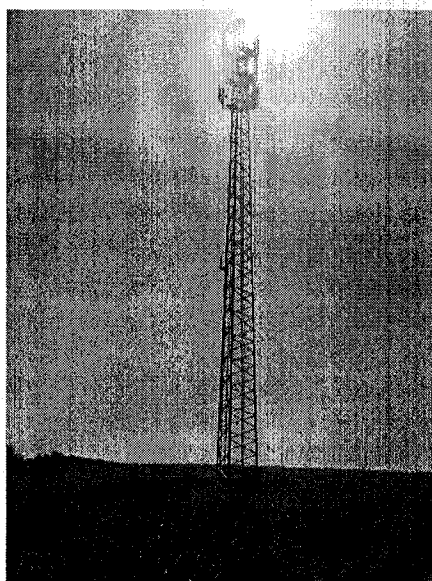
tel. +48 22 780 29 64

e-mail: laboratorium@emvo.pl



AB 1630

**Aneks do sprawozdania z pomiarów pól elektromagnetycznych - środowisko ogólne  
Nr 103/06/OŚ/2022- P4-W**



Nr i nazwa stacji	WLS4471A	
Adres	Wałkonowy Dolne, dz. nr 82, pow. włoszczowski, woj. świętokrzyskie	
Opracowanie	Martyna Karczmarczyk	Specjalista ds. pomiarów
Autoryzacja	Andrzej Urbański	Kierownik Laboratorium
Podpis	Podpis jest prawidłowy Dokument podpisany przez Andrzej Urbański Data: 2022.07.18 12:06:46 CEST Powód: Zatwierdzam dokument	
Data	2022-07-13	

„Bez pisemnej zgody Laboratorium niniejsze sprawozdanie nie może być powielane inaczej, jak tylko w całości. Ponadto wyniki dotyczą tylko badanych obiektów przywołanych w niniejszym sprawozdaniu z badań”

W sprawozdaniu z pomiarów na str. 4 korekta zapisu dotyczącego poprawek pomiarowych.

Było :

Pomiary zostały wykonane

1. na głównych i pomocniczych kierunkach pomiarowych, na kierunkach zbliżonych do azymutów anten oraz w dodatkowych pionach pomiarowych zgodnie z wymaganiami pkt 12, 13, 14 i 19 załącznika do rozporządzenia Ministra Klimatu z dnia 17 lutego 2020 r. (Dz. U. 2020, poz. 258),
2. na obszarze pomiarowym, dla którego, na podstawie uprzednio wykonanych obliczeń uzyskanych od zleceniodawcy, stwierdzono możliwość występowania pól elektromagnetycznych o poziomach zbliżonych do poziomów dopuszczalnych zgodnie z wymaganiami pkt 5 ppkt 2 oraz pkt 13 ppkt 1 załącznika do rozporządzenia Ministra Klimatu z dnia 17 lutego 2020 r. (Dz. U. 2020, poz. 258). Wyniki obliczeń nie uwzględniały parametrów pracy instalacji innych operatorów występujących na obiekcie bądź w obszarze pomiarowym.
3. w miejscach dostępnych dla ludności.
4. miejsca niedostępne podczas wykonywania pomiarów wskazane zostały w pkt 6 (tabeli wyniki pomiarów)
5. wyniki pomiarów uzyskane zostały przy uwzględnieniu poprawki pomiarowej wynoszącej 1,0.

Zostaje zmienione na:

Pomiary zostały wykonane

1. na głównych i pomocniczych kierunkach pomiarowych, na kierunkach zbliżonych do azymutów anten oraz w dodatkowych pionach pomiarowych zgodnie z wymaganiami pkt 12, 13, 14 i 19 Rozporządzenia Ministra Klimatu z dnia 17 lutego 2020 r. (Dz. U. 2020, poz. 258) oraz Rozporządzenia Ministra Klimatu i Środowiska z dnia 6 maja 2022 r. zmieniającego rozporządzenie w sprawie sposobów sprawdzania dotrzymywania dopuszczalnych poziomów pól elektromagnetycznych w środowisku (Dz.U. 2022 poz. 1121).
2. na obszarze pomiarowym, dla którego, na podstawie uprzednio przeprowadzonych obliczeń stwierdzono w miejscach dostępnych dla ludności występowanie pól elektromagnetycznych o najwyższym poziomie, które pochodzą z badanej instalacji zgodnie z wymaganiami pkt 5 ppkt 2 oraz pkt 13 ppkt 1 Rozporządzenia Ministra Klimatu z dnia 17 lutego 2020 r. w sprawie sposobów sprawdzania dotrzymywania dopuszczalnych poziomów pól elektromagnetycznych w środowisku (Dz. U. 2020, poz. 258) oraz Rozporządzenia Ministra Klimatu i Środowiska z dnia 6 maja 2022 r. zmieniającego rozporządzenie w sprawie sposobów sprawdzania dotrzymywania dopuszczalnych poziomów pól elektromagnetycznych w środowisku (Dz.U. 2022 poz. 1121). Wyniki obliczeń nie uwzględniały parametrów pracy instalacji innych operatorów występujących na obiekcie bądź w obszarze pomiarowym.
3. w miejscach dostępnych dla ludności.
4. miejsca niedostępne podczas wykonywania pomiarów wskazane zostały w pkt 6 (tabeli wyniki pomiarów).

W sprawozdaniu z pomiarów na str. 4 korekta zapisu dotyczącego poprawek pomiarowych.

Było :

Warunki pracy urządzeń

Podczas pomiarów zostały uwzględnione poprawki pomiarowe przekazane przez

---

„Bez pisemnej zgody Laboratorium niniejsze sprawozdanie nie może być powielane inaczej, jak tylko w całości. Ponadto wyniki dotyczą tylko badanych obiektów przywołanych w niniejszym sprawozdaniu z badań”

nadawczych

zlecniodawcę, umożliwiające uwzględnienie maksymalnych parametrów pracy instalacji zgodnie z pkt 7 załącznika do Rozporządzeniem Ministra Klimatu z dnia 17 lutego 2020 r. w sprawie sposobów sprawdzania dotrzymania dopuszczalnych poziomów pól elektromagnetycznych w środowisku (Dz. U. 2020, poz. 258).

Zostaje zmienione na:

Warunki pracy urządzeń nadawczych

Tryb pracy eksploatacyjny.

W sprawozdaniu z pomiarów na str. 6-7 korekta zapisu dotyczącego poprawek pomiarowych.

Było :

Nr PP	Pole-E [V/m]	Pole-E *kE +U [V/m]	Pole-H [A/m]	Pole-H *kE+U [A/m]	Wys. pomiaru [m]	Opis pionu	Uwagi	WM <sub>E</sub>	WM <sub>H</sub>
1	0,9	1,41	0,002	0,004	0,3-2,0	N:50°46'44.6" E:19°53'28.2"	otoczenie stacji bazowej - 100m wzdłuż gł. osi promieniowania - GKP	0,050	0,051
2	0,8	1,26	0,002	0,003	0,3-2,0	N:50°46'47.5" E:19°53'29.7"	otoczenie stacji bazowej - 200m wzdłuż gł. osi promieniowania - GKP	0,045	0,046
3	0,7*	1,26	0,002	0,003	0,3-2,0	N:50°46'50.2" E:19°53'31.4"	otoczenie stacji bazowej - 300m wzdłuż gł. osi promieniowania - GKP	0,045	0,046
4	0,7*	1,26	0,002	0,003	0,3-2,0	N:50°46'53.4" E:19°53'33.3"	otoczenie stacji bazowej - 400m wzdłuż gł. osi promieniowania- GKP	0,045	0,046
5	0,7*	1,26	0,002	0,003	0,3-2,0	N:50°46'54.2" E:19°53'34.1"	otoczenie stacji bazowej - 427m wzdłuż gł. osi promieniowania - GKP	0,045	0,046
6	0,7*	1,26	0,002	0,003	0,3-2,0	N:50°46'38.2" E:19°53'28.4"	otoczenie stacji bazowej - 100m wzdłuż gł. osi promieniowania - GKP	0,045	0,046
7	0,7*	1,26	0,002	0,003	0,3-2,0	N:50°46'35.1" E:19°53'29.8"	otoczenie stacji bazowej - 200m wzdłuż gł. osi promieniowania - GKP	0,045	0,046
8	0,7*	1,26	0,002	0,003	0,3-2,0	N:50°46'32.2" E:19°53'31.8"	otoczenie stacji bazowej - 300m wzdłuż gł. osi promieniowania - GKP	0,045	0,046
9	0,7*	1,26	0,002	0,003	0,3-2,0	N:50°46'29.4" E:19°53'33.1"	otoczenie stacji bazowej - 400m wzdłuż gł. osi promieniowania- GKP	0,045	0,046
10	0,7*	1,26	0,002	0,003	0,3-2,0	N:50°46'28.2" E:19°53'33.7"	otoczenie stacji bazowej - 427m wzdłuż gł. osi promieniowania - GKP	0,045	0,046
11	0,8	1,26	0,002	0,003	0,3-2,0	N:50°46'41.4" E:19°53'21.1"	otoczenie stacji bazowej - 100m wzdłuż gł. osi promieniowania - GKP	0,045	0,046
12	0,7*	1,26	0,002	0,003	0,3-2,0	N:50°46'41.5" E:19°53'15.9"	otoczenie stacji bazowej - 200m wzdłuż gł. osi promieniowania - GKP	0,045	0,046
13	0,7*	1,26	0,002	0,003	0,3-2,0	N:50°46'41.6" E:19°53'11.2"	otoczenie stacji bazowej - 300m wzdłuż gł. osi promieniowania - GKP	0,045	0,046
14	0,7*	1,26	0,002	0,003	0,3-2,0	N:50°46'41.4" E:19°53'06.5"	otoczenie stacji bazowej - 400m wzdłuż gł. osi promieniowania- GKP	0,045	0,046
15	0,7*	1,26	0,002	0,003	0,3-2,0	N:50°46'41.3" E:19°53'04.6"	otoczenie stacji bazowej - 427m wzdłuż gł. osi promieniowania - GKP	0,045	0,046
16	0,7*	1,26	0,002	0,003	0,3-2,0	N:50°46'43.9" E:19°53'29.5"	otoczenie stacji bazowej - 100m wzdłuż gł. osi promieniowania - GKP	0,045	0,046
17	0,7*	1,26	0,002	0,003	0,3-2,0	N:50°46'41.3" E:19°53'28.9"	otoczenie stacji bazowej -PKP	0,045	0,046
18	0,7*	1,26	0,002	0,003	0,3-2,0	N:50°46'38.6" E:19°53'31.1"	otoczenie stacji bazowej -PKP	0,045	0,046
19	0,7*	1,26	0,002	0,003	0,3-2,0	N:50°46'36.9" E:19°53'26.5"	otoczenie stacji bazowej - GKP	0,045	0,046
20	0,7*	1,26	0,002	0,003	0,3-2,0	N:50°46'39.6" E:19°53'24.0"	otoczenie stacji bazowej - GKP	0,045	0,046
21	0,7*	1,26	0,002	0,003	0,3-2,0	N:50°46'40.5" E:19°53'19.6"	otoczenie stacji bazowej -PKP	0,045	0,046
22	0,7*	1,26	0,002	0,003	0,3-2,0	N:50°46'42.9" E:19°53'19.6"	otoczenie stacji bazowej -PKP	0,045	0,046
23	0,7*	1,26	0,002	0,003	0,3-2,0	N:50°46'43.1" E:19°53'24.3"	otoczenie stacji bazowej -PKP	0,045	0,046

„Bez pisemnej zgody Laboratorium niniejsze sprawozdanie nie może być powielane inaczej, jak tylko w całości. Ponadto wyniki dotyczą tylko badanych obiektów przywołanych w niniejszym sprawozdaniu z badań”  
103/06/OŚ/2022– P4-W

24	0,7*	1,26	0,002	0,003	0,3-2,0	N:50°46'45.9" E:19°53'25.3"	otoczenie stacji bazowej -PKP	0,045	0,046
----	------	------	-------	-------	---------	--------------------------------	-------------------------------	-------	-------

Wynik pomiaru pole - E [V/m] - maksymalna wartość chwilowa zmierzona w danym pionie pomiarowym (uśredniona na podstawie punktu 11 Załącznika do Rozporządzenia Ministra Zdrowia).

Przyjęto najniższą dopuszczalną wartość składowej elektrycznej pola dla objętego pomiarami zakresu częstotliwości  $\min(ME_{gr})= 28 \text{ V/m}$  oraz składowej magnetycznej  $\min(MH_{gr})= 0,073 \text{ A/m}$ .

\* - wartość zmierzona poniżej zakresu akredytacji. Do obliczeń przyjęto wartość zgodną z dolną granicą akredytowanego zakresu pomiarowego metody.

GKP - główne kierunki pomiarowe

PKP - pomocnicze kierunki pomiarowe

DPP - dodatkowe punkty pomiarowe

PP - pion pomiarowy

U - niepewność pomiarowa rozszerzona, przy poziomie ufności 95%, z uwzględnieniem współczynnika rozszerzenia  $k=2$

kE - poprawka pomiarowa badanej instalacji radiokomunikacyjnej ( $kE=1,0$ )

WM<sub>E</sub> - wartość wskaźnikowa poziomu emisji pól elektromagnetycznych dla miejsc dostępnych dla ludności dla składowej elektrycznej pola

WM<sub>H</sub> - wartość wskaźnikowa poziomu emisji pól elektromagnetycznych dla miejsc dostępnych dla ludności dla składowej magnetycznej pola

Zostaje zmienione na:

Nr PP	Pole-E [V/m]	Pole-E, +U [V/m]	Pole-H [A/m]	Pole-H +U [A/m]	Wys. pomiaru [m]	Opis pionu	Uwagi	WM <sub>E</sub>	WM <sub>H</sub>
1	0,9	1,41	0,002	0,004	0,3-2,0	N:50°46'44.6" E:19°53'28.2"	otoczenie stacji bazowej - 100m wzdłuż gł. osi promieniowania - GKP	0,050	0,051
2	0,8	1,26	0,002	0,003	0,3-2,0	N:50°46'47.5" E:19°53'29.7"	otoczenie stacji bazowej - 200m wzdłuż gł. osi promieniowania - GKP	0,045	0,046
3	0,7*	1,26	0,002	0,003	0,3-2,0	N:50°46'50.2" E:19°53'31.4"	otoczenie stacji bazowej - 300m wzdłuż gł. osi promieniowania - GKP	0,045	0,046
4	0,7*	1,26	0,002	0,003	0,3-2,0	N:50°46'53.4" E:19°53'33.3"	otoczenie stacji bazowej - 400m wzdłuż gł. osi promieniowania- GKP	0,045	0,046
5	0,7*	1,26	0,002	0,003	0,3-2,0	N:50°46'54.2" E:19°53'34.1"	otoczenie stacji bazowej - 427m wzdłuż gł. osi promieniowania - GKP	0,045	0,046
6	0,7*	1,26	0,002	0,003	0,3-2,0	N:50°46'38.2" E:19°53'28.4"	otoczenie stacji bazowej - 100m wzdłuż gł. osi promieniowania - GKP	0,045	0,046
7	0,7*	1,26	0,002	0,003	0,3-2,0	N:50°46'35.1" E:19°53'29.8"	otoczenie stacji bazowej - 200m wzdłuż gł. osi promieniowania - GKP	0,045	0,046
8	0,7*	1,26	0,002	0,003	0,3-2,0	N:50°46'32.2" E:19°53'31.8"	otoczenie stacji bazowej - 300m wzdłuż gł. osi promieniowania - GKP	0,045	0,046
9	0,7*	1,26	0,002	0,003	0,3-2,0	N:50°46'29.4" E:19°53'33.1"	otoczenie stacji bazowej - 400m wzdłuż gł. osi promieniowania- GKP	0,045	0,046
10	0,7*	1,26	0,002	0,003	0,3-2,0	N:50°46'28.2" E:19°53'33.7"	otoczenie stacji bazowej - 427m wzdłuż gł. osi promieniowania - GKP	0,045	0,046
11	0,8	1,26	0,002	0,003	0,3-2,0	N:50°46'41.4" E:19°53'21.1"	otoczenie stacji bazowej - 100m wzdłuż gł. osi promieniowania - GKP	0,045	0,046
12	0,7*	1,26	0,002	0,003	0,3-2,0	N:50°46'41.5" E:19°53'15.9"	otoczenie stacji bazowej - 200m wzdłuż gł. osi promieniowania - GKP	0,045	0,046
13	0,7*	1,26	0,002	0,003	0,3-2,0	N:50°46'41.6" E:19°53'11.2"	otoczenie stacji bazowej - 300m wzdłuż gł. osi promieniowania - GKP	0,045	0,046
14	0,7*	1,26	0,002	0,003	0,3-2,0	N:50°46'41.4" E:19°53'06.5"	otoczenie stacji bazowej - 400m wzdłuż gł. osi promieniowania- GKP	0,045	0,046
15	0,7*	1,26	0,002	0,003	0,3-2,0	N:50°46'41.3" E:19°53'04.6"	otoczenie stacji bazowej - 427m wzdłuż gł. osi promieniowania - GKP	0,045	0,046
16	0,7*	1,26	0,002	0,003	0,3-2,0	N:50°46'43.9" E:19°53'29.5"	otoczenie stacji bazowej - 100m wzdłuż gł. osi promieniowania - GKP	0,045	0,046
17	0,7*	1,26	0,002	0,003	0,3-2,0	N:50°46'41.3" E:19°53'28.9"	otoczenie stacji bazowej -PKP	0,045	0,046
18	0,7*	1,26	0,002	0,003	0,3-2,0	N:50°46'38.6" E:19°53'31.1"	otoczenie stacji bazowej -PKP	0,045	0,046
19	0,7*	1,26	0,002	0,003	0,3-2,0	N:50°46'36.9" E:19°53'26.5"	otoczenie stacji bazowej - GKP	0,045	0,046
20	0,7*	1,26	0,002	0,003	0,3-2,0	N:50°46'39.6" E:19°53'24.0"	otoczenie stacji bazowej - GKP	0,045	0,046

„Bez pisemnej zgody Laboratorium niniejsze sprawozdanie nie może być powielane inaczej, jak tylko w całości. Ponadto wyniki dotyczą tylko badanych obiektów przywołanych w niniejszym sprawozdaniu z badań”

21	0,7*	1,26	0,002	0,003	0,3-2,0	N:50°46'40.5" E:19°53'19.6"	otoczenie stacji bazowej -PKP	0,045	0,046
22	0,7*	1,26	0,002	0,003	0,3-2,0	N:50°46'42.9" E:19°53'19.6"	otoczenie stacji bazowej -PKP	0,045	0,046
23	0,7*	1,26	0,002	0,003	0,3-2,0	N:50°46'43.1" E:19°53'24.3"	otoczenie stacji bazowej -PKP	0,045	0,046
24	0,7*	1,26	0,002	0,003	0,3-2,0	N:50°46'45.9" E:19°53'25.3"	otoczenie stacji bazowej -PKP	0,045	0,046

Wynik pomiaru pole - E [V/m] - maksymalna wartość chwilowa zmierzona w danym pionie pomiarowym (uśredniona na podstawie punktu 11 Rozporządzenia Ministra Zdrowia).

Przyjęto najniższą dopuszczalną wartość składowej elektrycznej pola dla objętego pomiarami zakresu częstotliwości  $\min(ME_{gr}) = 28 \text{ V/m}$  oraz składowej magnetycznej  $\min(MH_{gr}) = 0,073 \text{ A/m}$ .

\* - wartość zmierzona poniżej zakresu akredytacji. Do obliczeń przyjęto wartość zgodną z dolną granicą akredytowanego zakresu pomiarowego metody.

GKP - główne kierunki pomiarowe

PKP - pomocnicze kierunki pomiarowe

DPP - dodatkowe punkty pomiarowe

PP - pion pomiarowy

U - niepewność pomiarowa rozszerzona, przy poziomie ufności 95%, z uwzględnieniem współczynnika rozszerzenia  $k=2$

WM<sub>E</sub> - wartość wskaźnikowa poziomu emisji pól elektromagnetycznych dla miejsc dostępnych dla ludności dla składowej elektrycznej pola

WM<sub>H</sub> - wartość wskaźnikowa poziomu emisji pól elektromagnetycznych dla miejsc dostępnych dla ludności dla składowej magnetycznej pola